

# Анализ свойств моделей в задачах обучения с экспертом

А. И. Базарова<sup>1</sup>, А. В. Грабовой<sup>1</sup>, В. В. Стрижов<sup>1</sup>

bazarova.ai@phystech.edu, grabovoy.av@phystech.edu, strijov@phystech.edu

<sup>1</sup>Московский физико-технический институт

В данной работе решается задача поиска заданного набора фигур на изображении в предположении, что фигуры являются кривыми второго порядка. Построение моделей машинного обучения основывается на информации о виде этих кривых и множестве их возможных преобразований. Такую информацию называют *экспертными знаниями*, а метод машинного обучения, основанный на *экспертных знаниях*, называют *обучением с экспертом*. В работе предлагается отобразить кривые второго порядка в новое признаковое пространство, в котором каждая локальная модель является линейной моделью. Таким образом, распознавание кривых высших порядков может быть осуществлено при помощи композиции линейных моделей. В работе поставлена и решена задача оптимизации для поиска оптимальных параметров мультимодели. Качество работы предложенного метода сравнивается на синтетических данных и датасетах с реальными изображениями, которые включают в себя кривые второго порядка.

**Ключевые слова:** смесь моделей, обучение с экспертом, линейные модели.

## 1 Введение

В работе предлагается метод *обучения с экспертом* [1, 2]. Предметные знания экспертов используются в этом исследовании для повышения качества моделей машинного обучения. Данные предметные знания назовем *экспертными знаниями*. В данной работе в качестве экспертных знаний рассматривается информация о виде распознаваемой кривой и множестве ее допустимых преобразований. Метод машинного обучения, который учитывает *экспертные знания* при построении моделей, назовем *обучением с экспертом*.

Работа сконцентрирована на распознавании изображений кривых второго и третьего порядка: квадрик, коник, кубик и поверхностей второго порядка. Данные фигуры выбраны для анализа, так как они являются простыми для аппроксимации линейными моделями фигурами. При этом эти фигуры требуются восстановить в прикладных задачах, таких как задача распознавания радужки глаза [4], задача описания трека частицы в Большом адронном коллайдере [5, 6]. Коэффициенты уравнений, описывающих данные кривые, аналитически выражаются через оптимальные параметры построенных в работе моделей.

Для каждого класса перечисленных кривых предлагается согласно экспертным данным отобразить точки на изображении в новое признаковое пространство и затем оптимально аппроксимировать кривую. Отображение строится таким образом, чтобы в новом признаковом описании каждая кривая описывалась линейной моделью. В данной работе рассматривается задача поиска фигур на изображении в предположении, что число и тип фигур на изображении заданы, а также заданы дополнительные преобразования фигур и их взаимное расположение. Для каждого типа фигур требуется построить признаковое описание, в котором фигура задается линейно.

При распознавании нескольких кривых на одном изображении строится мультимодель, называемая смесью экспертов. Смесь экспертов — это мультимодель, которая линейно взвешивает локальные модели, аппроксимирующие выборку. Значения весовых коэффициентов зависят от того объекта, для которого производится предсказание.

Примерами мультимodelей являются беггинг, градиентный бустинг [7] и случайный лес решающих деревьев [8]. Подход к мультимodelированию предполагает, что вклад каждого эксперта в ответ зависит от рассматриваемого объекта. Для восстановления этой зависимости смесь экспертов использует шлюзовую функцию. Она определяет значимость предсказания каждого эксперта — отдельной модели, входящей в смесь. Таким образом, ансамбль моделей включает два типа параметров: параметры локальных моделей и параметры шлюзовой функции.

Для оптимизации параметров ансамбля моделей вводится функция ошибки. Она состоит из двух слагаемых: функции регуляризации, вид которой основан на экспертной информации, и суммы квадратичных функций ошибки локальных линейных моделей. Качество мультимodelи оценивается с помощью интерпретируемого критерия качества.

Для иллюстрации предложенного подхода решения задач обучения с экспертом поставлен вычислительный эксперимент.

## 2 Постановка задачи нахождения параметров кривых второго порядка на изображении

Задано бинарное изображение. Эксперт предполагает, что на нем изображен конечный набор кривых второго порядка:

$$\mathbf{M} \in \{0, 1\}^{m_1 \times m_2},$$

где 1 отвечает черной точке изображения, а 0 — белой точке фона. По изображению  $\mathbf{M}$  строится выборка  $\mathbf{C}$ , элементами которой являются координаты  $(x_i, y_i)$  черных точек:

$$\mathbf{C} \in \mathbb{R}^{N \times 2}.$$

**Построение признакового описания на основе экспертной информации.** Пусть для набора точек  $\mathbf{C} \in \mathbb{R}^{N \times 2}$ , образующих кривую  $\Omega$ , задано экспертное описание  $E(\Omega)$  — набор ограничений на коэффициенты ограничений вида равенство (24), (25), (44) и вида неравенство (21), (36), (38).  $E(\Omega)$  состоит из ожидаемого экспертом вида фигуры  $\Omega$  и множества ее допустимых преобразований. На основе экспертного описания введем отображения

$$K_x(E(\Omega)) : \mathbb{R}^2 \rightarrow \mathbb{R}^n, \quad K_y(E(\Omega)) : \mathbb{R}^2 \rightarrow \mathbb{R}, \quad (1)$$

иными словами, поэлементно:

$$K_x(E(\Omega), \mathbf{c}) = \mathbf{x}, \quad K_y(E(\Omega), \mathbf{c}) = y. \quad (2)$$

Здесь  $n$  — число признаков,  $\mathbf{c} = (x_i, y_i)$  — точка из выборки  $\mathbf{C}$ . Рассмотрим линейную модель

$$g : \mathbb{R}^n \times \mathbb{R}^n \rightarrow \mathbb{R}, \quad (3)$$

$$g(\mathbf{x}, \mathbf{w}) = \mathbf{x}^\top \mathbf{w}. \quad (4)$$

Вектор  $\hat{\mathbf{w}} = [w_0, w_1, \dots, w_n]$  является решением следующей оптимизационной задачи:

$$\hat{\mathbf{w}} = \arg \min_{\mathbf{w} \in \mathbb{R}^n} \|g(\mathbf{x}, \mathbf{w}) - y\|, \quad (5)$$

Применяя отображения (2) к исходному набору точек  $\mathbf{C}$ , получим выборку

$$\mathcal{D} = \{(\mathbf{x}, y) \mid \forall \mathbf{c} \in \mathbf{C} \ \mathbf{x} = K_x(\mathbf{c}), \ y = K_y(\mathbf{c})\}. \quad (6)$$

Таким образом, задача определения коэффициентов уравнения исходной фигуры сводится к решению задачи линейной регрессии, т. е. нахождения компонент вектора  $\hat{\mathbf{w}}$ , связывающего полученные  $\mathbf{x}$  и  $y$ .

**Мультимодель.** В случае, когда на изображении  $K$  кривых второго порядка  $\Omega_1, \dots, \Omega_K$ , для каждой из которых имеется экспертная информация  $E_k = E(\Omega_k)$ ,  $k \in \{1, \dots, K\}$ , ставится задача построения мультимодели, называемой смесью  $K$  экспертов.

**Definition 1.** Назовем мультимодель  $f$  смесью  $K$  экспертов

$$f = \sum_{k=1}^K \pi_k(\mathbf{x}, \mathbf{V}) g_k(\mathbf{w}_k), \quad \pi_k(\mathbf{x}, \mathbf{V}) : \mathbb{R}^{2 \times |\mathbf{V}|} \rightarrow [0, 1], \quad \sum_{k=1}^K \pi_k(\mathbf{x}, \mathbf{V}) = 1, \quad (7)$$

где  $g_k$  — локальная модель, называемая экспертом,  $\mathbf{x}$  — признаковое описание объекта,  $\pi_k$  — шлюзовая функция, вектор  $\mathbf{w}_k$  — параметры локальной модели, вектор  $\mathbf{V}$  — параметры шлюзовой функции. В данной работе  $g_k$  — линейная модель.

Для каждой кривой второго порядка заданы отображения (1). Тогда, используя локальные линейные модели, построим универсальную мультимодель, описывающую все множество кривых  $\Omega_1, \dots, \Omega_K$  на изображении  $\mathbf{M}$ :

$$f = \sum_{(\mathbf{x}, y) \in \mathcal{D}} \sum_{k=1}^K \pi_k(\mathbf{x}, \mathbf{V}) g_k(\mathbf{x}, \mathbf{w}_k), \quad (8)$$

где  $\pi_k$  — шлюзовая функция:

$$\pi_k(\mathbf{x}, \mathbf{V}) : \mathbb{R}^{2 \times |\mathbf{V}|} \rightarrow [0, 1], \quad \sum_{k=1}^K \pi_k(\mathbf{x}, \mathbf{V}) = 1, \quad (9)$$

$\mathbf{V}$  — параметры шлюзовой функции, а  $g_k$  — локальная линейная модель вида (4).

В данной работе

$$\pi(\mathbf{x}, \mathbf{V}) = \text{softmax}(\mathbf{V}_1^T \sigma(\mathbf{V}_2^T \mathbf{x})), \quad (10)$$

где  $\mathbf{V} = \{\mathbf{V}_1, \mathbf{V}_2\}$  — параметры шлюзовой функции,  $\mathbf{V}_1 \in \mathbb{R}^{p \times k}$ ,  $\mathbf{V}_2 \in \mathbb{R}^{n \times p}$ .

**Оптимизация.** Для нахождения оптимальных параметров мультимодели необходимо решить следующую задачу:

$$\mathcal{L} = \sum_{(\mathbf{x}, y) \in \mathcal{D}} \sum_{k=1}^K \pi_k(\mathbf{x}, \mathbf{V}) (y - \mathbf{w}_k^T \mathbf{x})^2 + R(\mathbf{V}, \mathbf{W}, E(\Omega)) \rightarrow \min_{\mathbf{V}, \mathbf{W}}. \quad (11)$$

Здесь  $\mathbf{W} = [\mathbf{w}_1, \dots, \mathbf{w}_k]$ ,  $R(\mathbf{V}, \mathbf{W}, E(\Omega))$  — регуляризация параметров, основанная на экспертной информации. Функция  $R$  для каждого случая экспертного описания  $E(\Omega)$  описана в пунктах (45), (47), (49).

**Интерпретируемый критерий качества.** Качество мультимодели оценивается с помощью внешнего критерия качества. Так, точность работы алгоритма при распознавании  $K$  окружностей на изображении оценивает функция  $S$ :

$$S = \sum_{k=1}^K (x_0^k - x_{pr}^k)^2 + (y_0^k - y_{pr}^k)^2 + (r_0^k - r_{pr}^k)^2, \quad (12)$$

где  $x_0^k, y_0^k, r_0^k$  — истинные значения параметров распознаваемых кривых,  $x_{pr}^k, y_{pr}^k, r_{pr}^k$  — предсказанные мультимоделью значения.

### 3 Построение признакового описания фигур

**Окружность.** Пусть  $(x_0, y_0)$  — центр окружности, которую необходимо найти на бинарном изображении  $\mathbf{M}$ , а  $r$  — ее радиус. Элементы выборки  $(x_i, y_i) \in \mathbf{C}$  являются геометрическим местом точек, которое аппроксимируется уравнением окружности:

$$(x_i - x_0)^2 + (y_i - y_0)^2 = r^2. \quad (13)$$

Раскрыв скобки, получим:

$$(2x_0) \cdot x_i + (2y_0) \cdot y_i + (r^2 - x_0^2 - y_0^2) \cdot 1 = x_i^2 + y_i^2. \quad (14)$$

Тогда отображения (2) примут вид:

$$K_x(\mathbf{c}_i) = [x_i, y_i, 1] = \mathbf{x}, K_y(\mathbf{c}_i) = x_i^2 + y_i^2 = y. \quad (15)$$

Поставим задачу линейной регрессии (6). Компоненты вектора  $\mathbf{w} = [w_0, w_1, w_2]^T$ , связывающего  $\mathbf{x}$  и  $y$ , восстанавливают параметры окружности:

$$x_0 = \frac{w_0}{2}, y_0 = \frac{w_1}{2}, r = \sqrt{w_2 + x_0^2 + y_0^2}. \quad (16)$$

**Эллипс.** Элементы выборки  $(x_i, y_i) \in \mathbf{C}$  являются ГМТ, которое аппроксимируется уравнением общим уравнением эллипса:

$$Ax_i^2 + Bx_iy_i + Cy_i^2 + Dx_i + Ey_i + F = 0, B^2 - 4AC < 0. \quad (17)$$

Из условия на коэффициенты  $A, B, C$  следует, что  $A \neq 0, C \neq 0$ . Перепишем уравнение:

$$B'x_iy_i + C'y_i^2 + D'x_i + E'y_i + F' = x_i^2. \quad (18)$$

В этом случае отображения (2) имеют вид:

$$K_x(\mathbf{c}_i) = [x_iy_i, y_i^2, x_i, y_i, 1] = \mathbf{x}, K_y(\mathbf{c}_i) = x_i^2 = y. \quad (19)$$

Поставим задачу линейной регрессии (6). Оптимальные параметры линейной регрессии и коэффициенты уравнения связаны следующим образом:

$$w_0 = B' = -\frac{B}{A}, w_1 = C' = -\frac{C}{A}, w_2 = D' = -\frac{D}{A}, w_3 = E' = -\frac{E}{A}, w_4 = F' = -\frac{F}{A}, \quad (20)$$

с учетом

$$B^2 - 4AC < 0, \quad (21)$$

то есть

$$w_0^2 + 4w_1 < 0. \quad (22)$$

**Парабола.** Элементы выборки  $\mathbf{C}$  аппроксимируются общим уравнением параболы:

$$Ax_i^2 + Bx_iy_i + Cy_i^2 + Dx_i + Ey_i + F = 0, \quad (23)$$

где

$$B^2 = 4AC. \quad (24)$$

Рассмотрим различные варианты расположения параболы относительно координатных осей.

**Экспертные данные: ось симметрии параболы параллельна  $Ox$ .** Из экспертных данных следует, что коэффициенты общего уравнения параболы

$$A = B = 0. \quad (25)$$

Тогда общее уравнение параболы, аппроксимирующее выборку  $\mathbf{C}$ , приобретает вид

$$Cy_i^2 + Dx_i + Ey_i + F = 0. \quad (26)$$

Перепишем:

$$y_i^2 = D'x_i + E'y_i + F'. \quad (27)$$

Тогда вид преобразований (2):

$$K_x(\mathbf{c}_i) = [x_i, y_i, 1] = \mathbf{x}, K_y(\mathbf{c}_i) = y_i^2 = y. \quad (28)$$

Поставим задачу линейной регрессии (6). Параметры параболы выражаются через оптимальные параметры линейной регрессии:

$$w_0 = D' = -\frac{D}{C}, w_1 = E' = -\frac{E}{C}, w_2 = F' = -\frac{F}{C}. \quad (29)$$

**Экспертные данные: ось симметрии параболы параллельна  $Oy$ .** Аналогично предыдущему случаю, общее уравнение приобретет вид:

$$x_i^2 = D'x_i + E'y_i + F'. \quad (30)$$

Преобразования (2) будут иметь вид:

$$K_x(\mathbf{c}_i) = [x_i, y_i, 1] = \mathbf{x}, K_y(\mathbf{c}_i) = x_i^2 = y. \quad (31)$$

**Экспертные данные: ось симметрии параболы не параллельна ни одной из координатных осей.** В таком случае  $A \neq 0$ ,  $B \neq 0$ ,  $C \neq 0$ .

Тогда общее уравнение параболы, аппроксимирующее выборку, имеет вид:

$$x_i^2 = B'x_iy_i + C'y_i^2 + D'x_i + E'y_i + F'. \quad (32)$$

Преобразования (2):

$$K_x(\mathbf{c}_i) = [x_iy_i, y_i^2, x_i, y_i, 1] = \mathbf{x}, K_y(\mathbf{c}_i) = x_i^2 = y. \quad (33)$$

Поставим задачу линейной регрессии (6). Исходные параметры параболы восстанавливаются по вектору оптимальных параметров линейной регрессии  $\mathbf{w}$  следующим образом:

$$w_0 = B' = -\frac{B}{A}, w_1 = C' = -\frac{C}{A}, w_2 = D' = -\frac{D}{A}, w_3 = E' = -\frac{E}{A}, w_4 = F' = -\frac{F}{A}. \quad (34)$$

Гипербола. Элементы выборки  $\mathbf{C}$  аппроксимируются общим уравнением гиперболы:

$$Ax_i^2 + Bx_iy_i + Cy_i^2 + Dx_i + Ey_i + F = 0, \quad (35)$$

153 где

$$154 \quad B^2 - 4AC > 0. \quad (36)$$

155 **Экспертные данные: полуоси гиперболы параллельны осям координат.** В таком  
156 случае уравнение гиперболы имеет вид:

$$158 \quad Ax_i^2 + Cy_i^2 + Dx_i + Ey_i + F = 0, \quad (37)$$

159 где

$$160 \quad AC < 0. \quad (38)$$

161 Перепишем уравнение:

$$162 \quad C'y_i^2 + D'x_i + E'y_i + F' = x_i^2. \quad (39)$$

163 Преобразования (2):

$$164 \quad K_x(\mathbf{c}_i) = [y_i^2, x_i, y_i, 1] = \mathbf{x}, \quad K_y(\mathbf{c}_i) = x_i^2 = y. \quad (40)$$

165 **Экспертные данные: полуоси гиперболы непараллельны осям координат.** Тогда  
166  $B \neq 0$ . Перепишем уравнение гиперболы:

$$168 \quad A'x_i^2 + C'y_i^2 + D'x_i + E'y_i + F' = x_iy_i. \quad (41)$$

169 Преобразования (2):

$$170 \quad K_x(\mathbf{c}_i) = [x_i^2, y_i^2, x_i, y_i, 1] = \mathbf{x}, \quad K_y(\mathbf{c}_i) = x_iy_i = y. \quad (42)$$

171 **Композиция фигур.**

172 **Экспертные данные: на изображении  $n$  концентрических окружностей.** В за-  
173 даче оптимизации используются векторы  $\mathbf{w}_1, \mathbf{w}_2, \dots, \mathbf{w}_n$ . Так как центры окружностей  
174 совпадают,  $w_{10} = w_{20} = \dots = w_{n0}$  и  $w_{11} = w_{21} = \dots = w_{n1}$ . Отображения (2) приобретут  
175 вид:

$$176 \quad K_x(\mathbf{c}_i) = [x_i, y_i, 1], \quad K_y(\mathbf{c}_i) = [x_i^2 + y_i^2]. \quad (43)$$

177 Ограничения на  $w_{i0}$  и  $w_{i1}$  учитываются согласно экспертной информации подстановкой  
178 одинаковых значений  $w_0$  и  $w_1$  во все векторы  $\mathbf{w}_k$ .

179 **Экспертные данные: на изображении две окружности, известно расстояние**  
180 **между центрами.** В этом случае расстояние

$$181 \quad \sqrt{(w_{10} - w_{20})^2 + (w_{11} - w_{21})^2} = \rho \quad (44)$$

182 задано экспертом.  $K_x$  и  $K_y$  имеют вид (15). Функция регуляризации  $R$ :

$$183 \quad R = \frac{\mu}{2} (\sqrt{(w_{10} - w_{20})^2 + (w_{11} - w_{21})^2} - \rho)^2. \quad (45)$$

184 **Экспертные данные: на изображении три окружности, известны соотношения**  
185 **между сторонами треугольника центров.** Экспертная информация: треугольник  
186 равносторонний. Тогда

$$187 \quad \sqrt{(w_{10} - w_{20})^2 + (w_{11} - w_{21})^2} = \sqrt{(w_{10} - w_{30})^2 + (w_{11} - w_{31})^2} = \sqrt{(w_{20} - w_{30})^2 + (w_{21} - w_{31})^2}. \quad (46)$$

Тогда в качестве функции регуляризации  $R$ :

$$R = \frac{\mu}{2} \sum_{\substack{1 \leq i, j \leq 3 \\ i < j}} (\sqrt{(w_{i0} - w_{j0})^2 + (w_{i1} - w_{j1})^2} - \sqrt{(w_{i0} - w_{j0})^2 + (w_{i1} - w_{j1})^2})^2. \quad (47)$$

**Экспертные данные: на изображении  $n$  концентрических эллипсов.** Координаты центра симметрии эллипса выражаются из коэффициентов его общего уравнения следующим образом:

$$y_0 = \frac{4\frac{E}{A} - 2\frac{DB}{A^2}}{\frac{B^2}{A^2} - 4\frac{C}{A}} = \frac{-4w_3 - 2w_0w_2}{w_0^2 + 4w_1}, \quad x_0 = -\frac{D}{A} - \frac{B}{A}y_0 = w_2 - w_0 \cdot \frac{4w_3 + 2w_0w_2}{w_0^2 + 4w_1}. \quad (48)$$

Экспертные данные задают одинаковые значения  $x_0$  и  $y_0$  для всех эллипсов на изображении. Функцию регуляризации  $R$  в таком случае выберем:

$$R = \frac{\mu}{2} \sum_{\substack{1 \leq i, j \leq n \\ i < j}} \left( \frac{-4w_{i3} - 2w_{i0}w_{i2}}{w_{i0}^2 + 4w_{i1}} - \frac{-4w_{j3} - 2w_{j0}w_{j2}}{w_{j0}^2 + 4w_{j1}} \right)^2 + \\ + \left( \left( w_{i2} - w_{i0} \cdot \frac{4w_{i3} + 2w_{i0}w_{i2}}{w_{i0}^2 + 4w_{i1}} \right) - \left( w_{j2} - w_{j0} \cdot \frac{4w_{j3} + 2w_{j0}w_{j2}}{w_{j0}^2 + 4w_{j1}} \right) \right)^2. \quad (49)$$

## 4 Вычислительный эксперимент

Проведен вычислительный эксперимент для анализа качества моделей кривых второго порядка на изображении. В эксперименте использован подход с заданием априорных распределений, указывающих на типы кривых на изображении

**Синтетические данные с разным типом шума на изображении.** Для проведения эксперимента на синтетических данных сгенерированы 2 типа выборок (точки принадлежащие соответствующим кривым): выборка Synthetic 1 — выборка без шума, Synthetic 2 — выборка с шумом вблизи кривых.

Для сравнения качества моделей с разными априорными распределениями использована интерпретируемая функция ошибки  $S$ :

$$S = \sum_{k=1}^K \|\mathbf{w}_k - \mathbf{w}_k^0\|^2, \quad (50)$$

где  $\mathbf{w}_k^0$  — истинные значения параметров распознаваемых кривых,  $\mathbf{w}_k$  — предсказанные мультимоделью значения.

**Анализ моделей в зависимости от разных априорных предположений.** На рис.1 результат работы мультимodelей  $\mathcal{M}_1$  (с заданием априорного распределения) и  $\mathcal{M}_2$  (без задания). На всех изображениях обе модели обучались 50 итераций ЕМ-алгоритма.

Качество прогноза, вычисленное по формуле 50, в таблице 1:

	$S_{\mathcal{M}_1}$	$S_{\mathcal{M}_2}$
Synthetic1	$10^{-5}$	$10^{-4}$
Synthetic2	$10^{-3}$	0.13

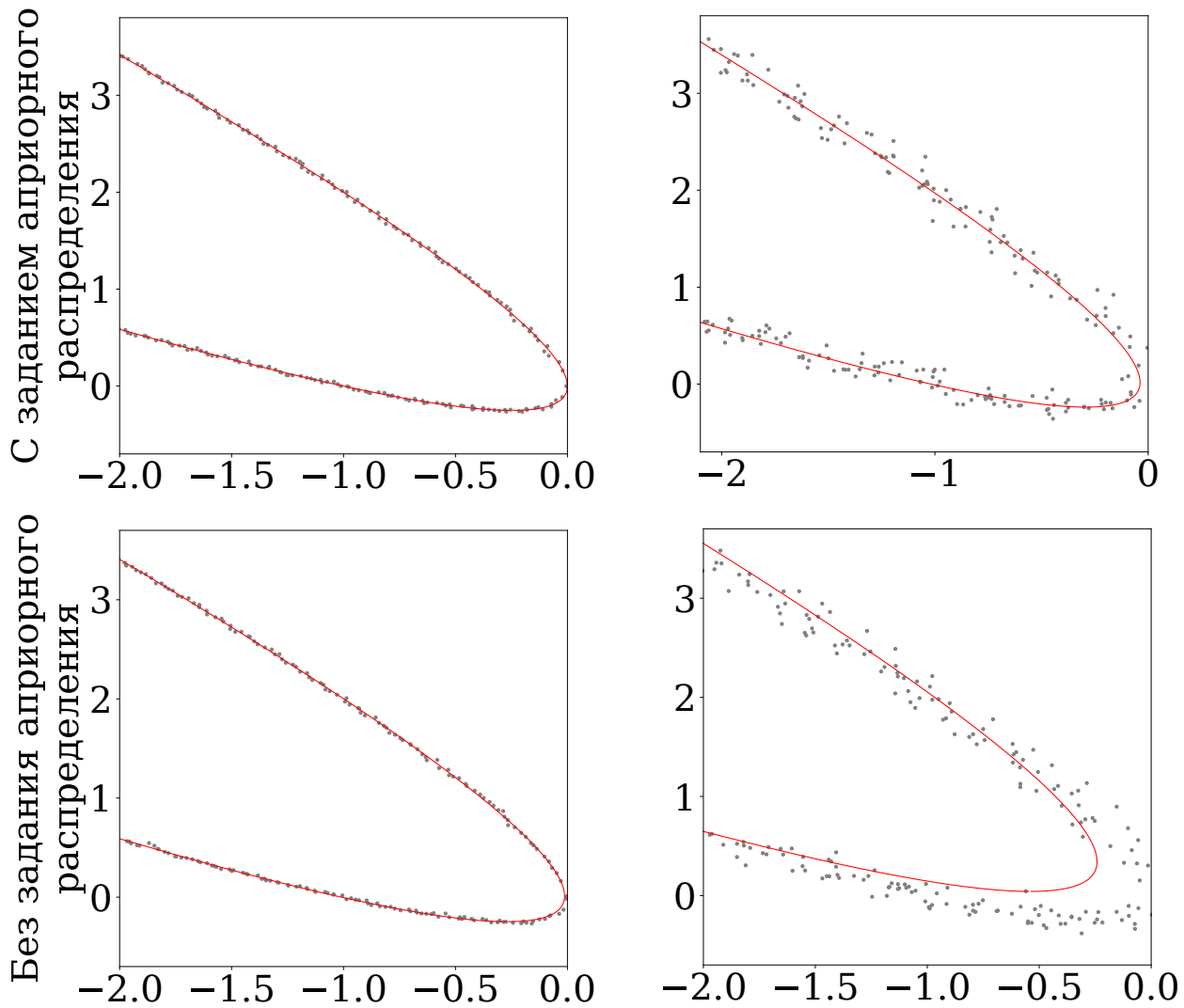


Рис. 1 Мультимодель в зависимости от разных априорных предположений и уровня шума.

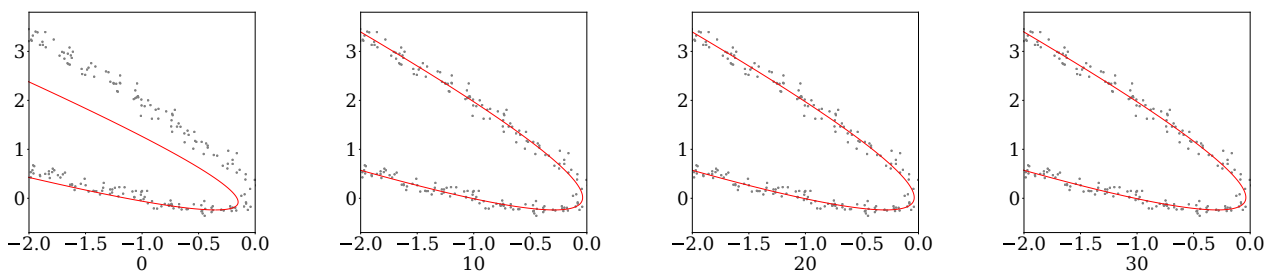


Рис. 2 Визуализация процесса обучения мультимодели в течение 30 итераций



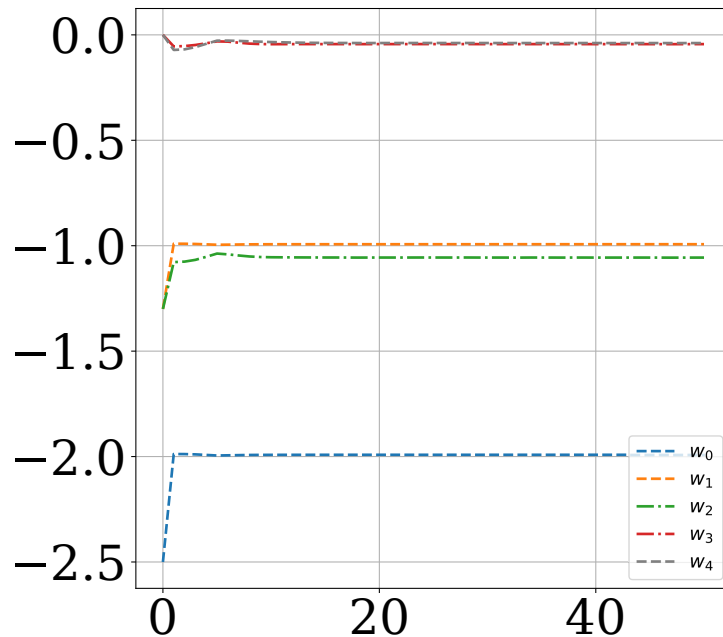


Рис. 3 График зависимости  $w_i$  от номера итерации

На рис. 2 показан процесс обучения мультимодели  $\mathcal{M}_1$  на выборке Synthetic 2 в течение 30 итераций.

На рис. 3 изображены графики зависимости коэффициентов  $w_i$  от номера итерации при работе модели  $\mathcal{M}_2$  на выборке Synthetic 2.

В ходе эксперимента показано, что задание априорного распределения улучшает качество распознавания изображений.

**Анализ мультимодели в зависимости от шума.** Для анализа свойств мультимodelей  $\mathcal{M}_1$  и  $\mathcal{M}_2$  в зависимости от зашумленности изображения проведен вычислительный эксперимент на выборках Synthetic 3, Synthetic 4 и Synthetic 5. Минимальный уровень шума равен 0, когда на изображении нет шумовых точек, а максимальный равен 0.15, когда на изображении число шумовых точек равно  $\frac{1}{6}$  от числа точек всех окружностей. Работа мультимодели на данных выборках с заданным априорным распределением и без задания априорного распределения показана на рис. 4.

На рис. 5 показан график зависимости радиуса  $r$  и центра  $(x_0, y_0)$  от номера итерации для каждой окружности. Нетрудно видеть, что модель  $\mathcal{M}_1$  с заданием априорного распределения сходится быстрее, чем модель  $\mathcal{M}_2$  без задания, и является более устойчивой к шуму. Качество работы обеих моделей снижается при работе на равномерно зашумленных данных. При этом  $\mathcal{M}_1$  разделяет точки исходных окружностей точнее, чем  $\mathcal{M}_2$ , однако из-за наличия шумовых точек параметры окружностей, найденные  $\mathcal{M}_1$ , не совпадают с истинными параметрами.

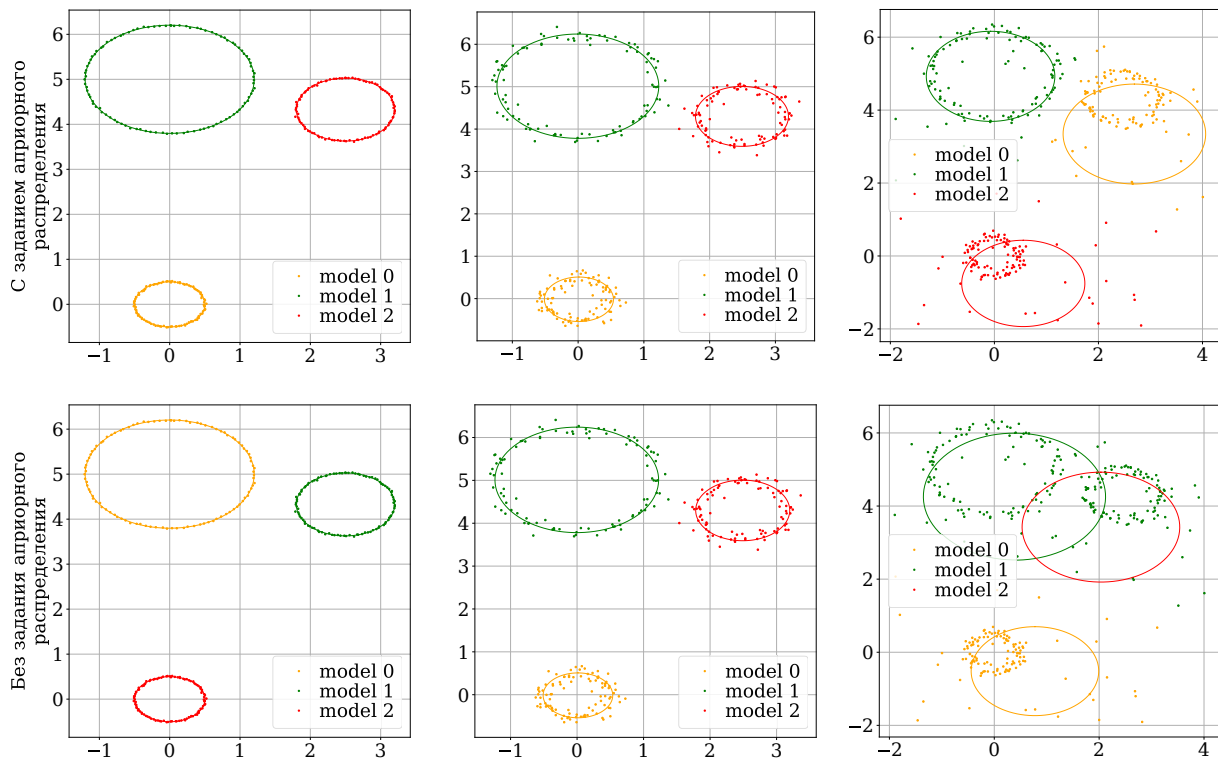


Рис. 4 Мультимодель в зависимости от разных априорных предположений и уровня шума

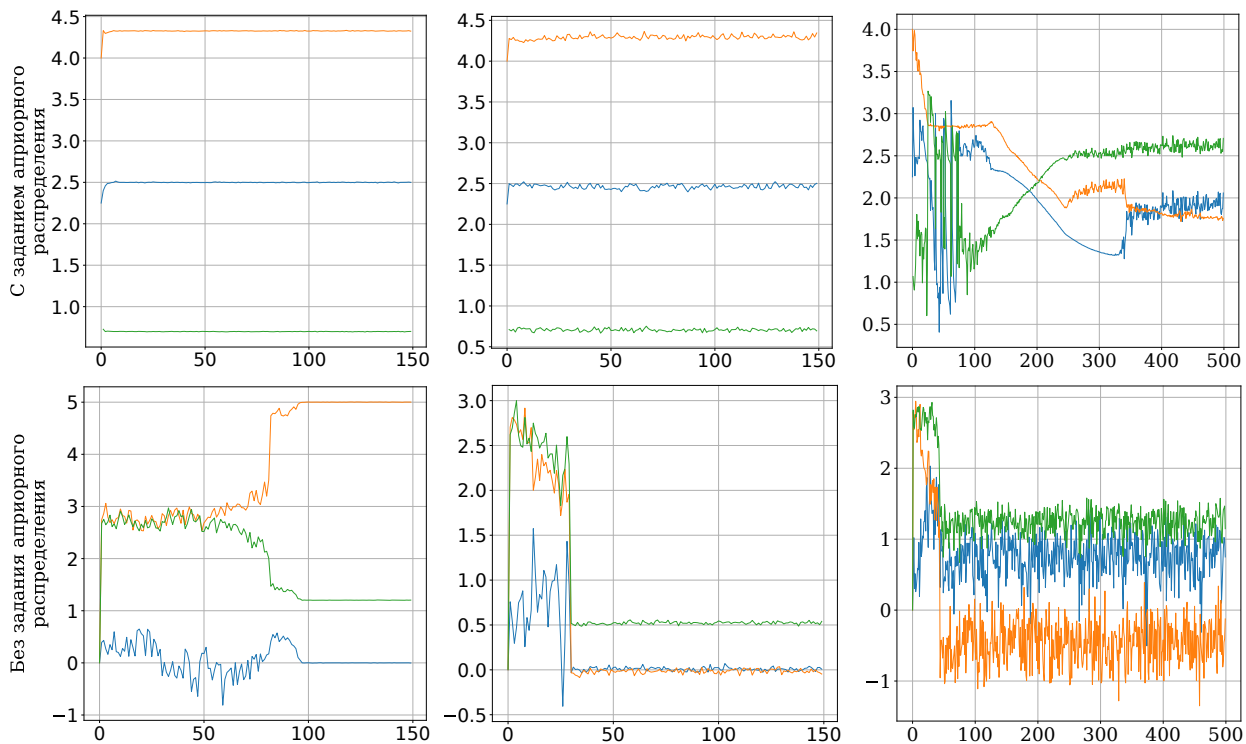


Рис. 5 Зависимость параметров  $r$ ,  $x_0$  и  $y_0$  от номера итерации при разных априорных распределениях

234 Данный эксперимент демонстрирует, что модель  $\mathcal{M}_1$  с заданием априорного распреде-  
 235 ления более устойчива к шуму.  $\mathcal{U}$

## 5 Список литературы

- [1] *Graboviy A. V., Strijov V. V.* Analysis of prior distributions for a mixture of experts // Computational Mathematics and Mathematical Physics, to appear in 2020.
- [2] *Scheres S. H. W.* A Bayesian view on Cryo-EM structure determination. // Journal of Molecular Biology. 2012. Vol. 415. № 2. P. 406–418.
- [3] *Yuksel S. E., Wilson J. N., Gader P. D.* Twenty years of mixture of experts // IEEE Transactions on Neural Networks and Learning Systems. 2012. Vol. 23, № 8, P. 1177–1193.
- [4] *Matveev I. A.* Detection of iris in image by interrelated maxima of brightness gradient projections // Applied and Computational Mathematics. 2010. Vol. 9. № 2. P. 252–257.